



Laboratorium EMVO Sp. J. Urbański, Pawelak

ul. Jasna 1
00-013 Warszawa

tel. +48 22 780 29 64

e-mail: laboratorium@emvo.pl



AB 1630

Sprawozdanie z pomiarów pól elektromagnetycznych - środowisko ogólne nr 25/05/OŚ/2021 - P4 - W



Nr i nazwa stacji	BIA3318	
Adres	Wasilków, dz. nr 320/4, pow. białostocki, woj. podlaskie	
Opracowanie	Marcin Belicki	Specjalista ds. pomiarów
Autoryzacja	Andrzej Urbański	Kierownik Laboratorium
Podpis		
Data	2021-05-11	

Spis treści

1. Informacje ogólne.....	3
2. Podstawa prawna.	3
3. Opis pomiarów.....	3
4. Zróżnicowanie dopuszczalne poziomy pól elektromagnetycznych.	5
5. Charakterystyka źródeł PEM.....	5
6. Wyniki pomiarów.....	6
7. Stwierdzenie zgodności	8
8. Oświadczenie.	8
9. Spis załączników.	8

1. Informacje ogólne.

Zleceniodawca	P4 sp. z o.o., ul. Wynałazek 1, 02-677 Warszawa osoba udzielająca informacji – Monika Jankowska
Istotne informacje dostarczone przez klienta	komplet informacji niezbędnych do wykonania pomiarów i opracowania sprawozdania
Dane otrzymane od klienta mogące mieć wpływ na ważność wyników	Dane anten sektorowych, dane anten radioliniowych, parametry pracy instalacji, poprawka pomiarowa, ustawienie pochylenia anten
Prowadzący instalację	P4 sp. z o.o., ul. Wynałazek 1, 02-677 Warszawa
Lokalizacja obiektu	Wasilków, dz. nr 320/4, pow. białostocki, woj. podlaskie
Miejsce instalacji anten	stalowa wieża kratowa
Miejsce instalacji urządzeń	outdoor
Osoby wykonujące pomiar	Andrzej Figger
Data wykonania pomiaru	2021-05-11
Temperatura na początku pomiaru [°C]	24
Temperatura na koniec pomiaru [°C]	25
Warunki atmosferyczne	Brak opadów.
Wilgotność na początku pomiaru [%]	40,6
Wilgotność na koniec pomiaru [%]	40,7
Inne źródła pól elektromagnetycznych oznaczone na załączniku graficznym	brak
Parametry pracy instalacji	eksploatacyjne

2. Podstawa prawna.

2.1 Normy i rozporządzenia:

- Rozporządzeniem Ministra Klimatu z dnia 17 lutego 2020 r. w sprawie sposobów sprawdzania dotrzymania dopuszczalnych poziomów pól elektromagnetycznych w środowisku (Dz.U. 2020 poz. 258)
- Rozporządzenie Ministra Zdrowia z dnia 17 grudnia 2019 r. w sprawie dopuszczalnych poziomów pól elektromagnetycznych w środowisku (Dz.U. 2019 poz. 2448)
- Obwieszczenie Marszałka Sejmu Rzeczypospolitej Polskiej z dnia 19 lipca 2019 r. w sprawie ogłoszenia jednolitego tekstu ustawy - Prawo ochrony środowiska (Dz.U. 2019 poz. 1396).

3. Opis pomiarów.

Metodologia pomiarowa	Pomiary w oparciu o Rozporządzeniem Ministra Klimatu z dnia 17 lutego 2020 r. w sprawie sposobów sprawdzania dotrzymania dopuszczalnych poziomów pól elektromagnetycznych w środowisku (Dz.U. 2020 poz. 258).
Cel badań	Określenie wartości natężenia pola elektrycznego w miejscach dostępnych dla ludności.
Opis zestawu pomiarowego	Miernik Narda NBM 520, Sonda EF 9091, o zakresie pomiarowym 0,7 V/m – 400 V/m pracująca w paśmie 0,1 – 90 GHz, świadectwo wydane przez Laboratorium Wzorców i Metrologii Pola Elektromagnetycznego, Instytut Telekomunikacji,

	<p>Teleinformatyki i Akustyki Politechniki Wrocławskiej. Świadectwo ważne do 01.07.2021r.</p> <p>Miernik Narda NBM 520, Sonda EF 9091 pracuje w zakresie temperatury -10°C - +50°C oraz wilgotności 5% - 95%.</p>
Wyposażenie pomocnicze	<p>Niepewność rozszerzona wynosi 56,4% przy poziomie ufności 95% z uwzględnieniem współczynnika rozszerzenia k=2.</p> <p>Termohigrometr Termoprodukt, typ: Termik+, nr identyfikacyjny 700618, świadectwo wzorcowania nr 1763/AH/19 z dn. 29.07.2019 r. wydane przez Laboratorium Pomiarowe "MUTECH".</p> <p>Przymiar wstęgowy STABILA, nr identyfikacyjny 31WL, świadectwo wzorcowania nr 6W1/1826/19 z dn. 02.08.2019 r. wydane przez Dyrektora Okręgowego Urzędu Miar w Gdańsku.</p> <p>GPS Garmin 64s okresowo sprawdzany w punktach osnowy geodezyjnej klasy 3 na podstawie licencji punktu, zgodnie z procedurą sprawdzeń okresowych IS/PO16-11/03.</p>
Pomiary zostały wykonane	<ol style="list-style-type: none"> 1. na głównych i pomocniczych kierunkach pomiarowych, na kierunkach zbliżonych do azymutów anten oraz w dodatkowych pionach pomiarowych zgodnie z wymaganiami pkt 12, 13, 14 i 19 załącznika do rozporządzenia Ministra Klimatu z dnia 17 lutego 2020 r. (Dz. U. 2020, poz. 258), 2. na obszarze pomiarowym, dla którego, na podstawie uprzednio wykonanych obliczeń uzyskanych od zleceniodawcy, stwierdzono możliwość występowania pól elektromagnetycznych o poziomach zbliżonych do poziomów dopuszczalnych zgodnie z wymaganiami pkt 5 ppkt 2 oraz pkt 13 ppkt 1 załącznika do rozporządzenia Ministra Klimatu z dnia 17 lutego 2020 r. (Dz. U. 2020, poz. 258). Wyniki obliczeń nie uwzględniały parametrów pracy instalacji innych operatorów występujących na obiekcie bądź w obszarze pomiarowym. 3. w miejscach dostępnych dla ludności. 4. miejsca niedostępne podczas wykonywania pomiarów wskazane zostały w pkt 6 (tabeli wyniki pomiarów) 5. wyniki pomiarów uzyskane zostały przy uwzględnieniu poprawek pomiarowych przekazanych przez zleceniodawcę oraz przy rzeczywistych warunkach pracy instalacji innych operatorów (w przypadku występowania). W takiej sytuacji uwzględniono jednolitą poprawkę pomiarową wynoszącą 1,65
Szczególne warunki podczas wykonywania pomiarów	<p>Pomiary wykonane zostały podczas obowiązywania w kraju stanu epidemii, zgodnie z art. 122a ust. 1b Ustawy z dnia 27 kwietnia 2001 r. – Prawo ochrony środowiska (Dz. U. z 2019 r. poz. 1396, z późn. zm.9))</p>
Warunki pracy urządzeń nadawczych	<p>Podczas pomiarów zostały uwzględnione poprawki pomiarowe przekazane przez zleceniodawcę, umożliwiające uwzględnienie maksymalnych parametrów pracy instalacji zgodnie z pkt 7 załącznika do Rozporządzeniem Ministra Klimatu z dnia 17 lutego 2020 r. w sprawie sposobów sprawdzania dotrzymania dopuszczalnych poziomów pól elektromagnetycznych w środowisku (Dz. U. 2020, poz. 258).</p>

4. Zróznicowanie dopuszczalne poziomy pól elektromagnetycznych.

Zakresy znajdują się w Dzienniku Ustaw z dnia 17 grudnia 2019 r. przestawione są w tabeli nr 2 (Dz. U. z 2019r. poz. 2448).

Parametr fizyczny	Składowa elektryczna E (V/m)	Składowa magnetyczna H (A/m)	Gęstość mocy S (W/m ²)
Zakres Częstotliwości pola elektromagnetycznego			
od 400 MHz do 2000 MHz	$1,375 \times f^{0,5}$	$0,0037 \times f^{0,5}$	$f / 200$
od 2 GHz do 300 GHz	61	0,16	10

5. Charakterystyka źródeł PEM.

Zgodnie z informacją otrzymaną od Klienta pomiary zostały wykonane przy ustawieniach pochylenia anten zgodnych z pkt. 13, ppkt 2 załącznika do rozporządzenia Ministra Klimatu z dnia 17 lutego 2020 roku.

Anteny sektorowe - dane otrzymane od klienta

Charakterystyka promieniowania		kierunkowa						
Rzeczywisty czas pracy [h/dobę]		24						
Rodzaj wytwarzanego pola		stacjonarne						
Lp	Wyszczególnienie	sektor 1						
I Nadajnik stacji bazowej:								
1	Typ / Producent	RBS / Ericsson						
2	Częstotliwość (pasmo) MHz	900	2100	1800	800	2100	1800	800
3	Maksymalna moc nadawana na sektor [dBm]	44,77	50	50	46,02	50	50	46,02
II Obciążenie:								
1	Typ anteny	Huawei A704517R0	Huawei ADU4518R8			Huawei ADU4518R8		
2	Producent anteny	Huawei	Huawei			Huawei		
3	Ilość anten	1	1			1		
4	Azymut	20						
5	Zakres kątów pochylenia anten [°]	0,00-10,00	2,00-11,00	2,00-11,00	0,00-10,00	2,00-11,00	2,00-11,00	0,00-10,00
6	Wysokość zainst. n.p.t. [m]	59,00						
7	EIRP [W]	1519	12338			12338		

Charakterystyka promieniowania		kierunkowa						
Rzeczywisty czas pracy [h/dobę]		24						
Rodzaj wytwarzanego pola		stacjonarne						
Lp	Wyszczególnienie	sektor 2						
I Nadajnik stacji bazowej:								
1	Typ / Producent	RBS / Ericsson						
2	Częstotliwość (pasmo) MHz	900	2100	1800	800	2100	1800	800
3	Maksymalna moc nadawana na sektor [dBm]	44,77	50	50	46,02	50	50	46,02
II Obciążenie:								
1	Typ anteny	Huawei A704517R0	Huawei ADU4518R8			Huawei ADU4518R8		
2	Producent anteny	Huawei	Huawei			Huawei		
3	Ilość anten	1	1			1		
4	Azymut	130						
5	Zakres kątów pochylenia anten [°]	0,00-10,00	2,00-7,00	2,00-7,00	0,00-7,00	2,00-7,00	2,00-7,00	0,00-7,00
6	Wysokość zainst. n.p.t. [m]	59,00						
7	EIRP [W]	1519	12338			12338		

Charakterystyka promieniowania		kierunkowa						
Rzeczywisty czas pracy [h/dobę]		24						
Rodzaj wytwarzanego pola		stacjonarne						
Lp	Wyszczególnienie	sektor 3						
I								
Nadajnik stacji bazowej:								
1	Typ / Producent	RBS / Ericsson						
2	Częstotliwość (pasmo) MHz	900	2100	1800	800	2100	1800	800
3	Maksymalna moc nadawana na sektor [dBm]	44,77	50	50	46,02	50	50	46,02
II								
Obciążenie:								
1	Typ anteny	Huawei A704517R0	Huawei ADU4518R8			Huawei ADU4518R8		
2	Producent anteny	Huawei	Huawei			Huawei		
3	Ilość anten	1	1			1		
4	Azymut	250						
5	Zakres kątów pochylenia anten [°]	0,00-10,00	2,00-11,00	2,00-11,00	0,00-10,00	2,00-11,00	2,00-11,00	0,00-10,00
6	Wysokość zainst. n.p.t. [m]	59,00						
7	EIRP [W]	1519	12338			12338		

Anteny radioliniowe - dane otrzymane od klienta

Charakterystyka promieniowania		kierunkowa					
Rzeczywisty czas pracy [h/dobę]		24					
Rodzaj wytwarzanego pola		stacjonarne					
Lp	Linia radiowa	Antena					
	typ/producent	częstotliwość pracy [GHz]	moc wyjściowa [dBm]	typ/producent	średnica anteny [m]	azymut [°]	wysokość zainstal. [m]
1	MINI-LINK/ERICSSON	23	27	ANT3 B 0.6 23 HP/HPX/Ericsson	0,6	103	56,40
2	OPTIX RTN/HUAWEI	80	18	VHLP2-80/Andrew	0,6	228	56,40

6. Wyniki pomiarów.

Wyniki pomiarów pól elektromagnetycznych dla celów ochrony środowiska przedstawia poniższa tabela. Piony pomiarowe zostały przedstawione w zał. 2.

Nr PP	Pole-E [V/m]	Pole-E*kE,+U [V/m]	Pole-H [A/m]	Pole-H*kE,+U [A/m]	Wys. pomiaru [m]	Opis pionu	Uwagi	WME	WMH
1	<0,7*	<1,81	<0,002	<0,005	0,3 - 2,0	N: 53° 13' 28,5" E: 23° 13' 10,2"	otoczenie stacji nadawczej - ok. 50 m od obiektu wzdłuż gł. osi promieniowania - GKP	<0,047	<0,046
2	<0,7*	<1,81	<0,002	<0,005	0,3 - 2,0	N: 53° 13' 30" E: 23° 13' 11,2"	otoczenie stacji nadawczej - ok. 100 m od obiektu wzdłuż gł. osi promieniowania - GKP	<0,047	<0,046
3	<0,7*	<1,81	<0,002	<0,005	0,3 - 2,0	N: 53° 13' 31,5" E: 23° 13' 12,3"	otoczenie stacji nadawczej - ok. 150 m od obiektu wzdłuż gł. osi promieniowania - GKP	<0,047	<0,046
4	<0,7*	<1,81	<0,002	<0,005	0,3 - 2,0	N: 53° 13' 33" E: 23° 13' 13,4"	otoczenie stacji nadawczej - ok. 200 m od obiektu wzdłuż gł. osi promieniowania - GKP	<0,047	<0,046
5	<0,7*	<1,81	<0,002	<0,005	0,3 - 2,0	N: 53° 13' 34,5" E: 23° 13' 14,4"	otoczenie stacji nadawczej - ok. 250 m od obiektu wzdłuż gł. osi promieniowania - GKP	<0,047	<0,046
6	<0,7*	<1,81	<0,002	<0,005	0,3 - 2,0	N: 53° 13' 35,9" E: 23° 13' 15,5"	otoczenie stacji nadawczej - ok. 300 m od obiektu wzdłuż gł. osi promieniowania - GKP	<0,047	<0,046
7	<0,7*	<1,81	<0,002	<0,005	0,3 - 2,0	N: 53° 13' 37,4" E: 23° 13' 16,6"	otoczenie stacji nadawczej - ok. 350 m od obiektu wzdłuż gł. osi promieniowania - GKP	<0,047	<0,046
8	<0,7*	<1,81	<0,002	<0,005	0,3 - 2,0	N: 53° 13' 38,9" E: 23° 13' 17,6"	otoczenie stacji nadawczej - ok. 400 m od obiektu wzdłuż gł. osi promieniowania - GKP	<0,047	<0,046
9	<0,7*	<1,81	<0,002	<0,005	0,3 - 2,0	N: 53° 13' 40,4" E: 23° 13' 18,7"	otoczenie stacji nadawczej - ok. 450 m od obiektu wzdłuż gł. osi promieniowania - GKP	<0,047	<0,046
10	0,8	2,06	0,002	0,005	1,8	N: 53° 13' 41,9" E: 23° 13' 19,8"	otoczenie stacji nadawczej - ok. 500 m od obiektu wzdłuż gł. osi promieniowania - GKP	0,053	0,052
11	0,9	2,32	0,002	0,006	1,8	N: 53° 13' 43,4" E: 23° 13' 20,9"	otoczenie stacji nadawczej - ok. 550 m od obiektu wzdłuż gł. osi promieniowania - GKP	0,060	0,059
12	1,2	3,10	0,003	0,008	1,3	N: 53° 13' 44,8" E: 23° 13' 21,9"	otoczenie stacji nadawczej - ok. 600 m od obiektu wzdłuż gł. osi promieniowania - GKP	0,080	0,078
13	<0,7*	<1,81	<0,002	<0,005	0,3 - 2,0	N: 53° 13' 25,9" E: 23° 13' 11,1"	otoczenie stacji nadawczej - ok. 50 m od obiektu wzdłuż gł. osi promieniowania - GKP	<0,047	<0,046
14	<0,7*	<1,81	<0,002	<0,005	0,3 - 2,0	N: 53° 13' 24,1" E: 23° 13' 12,9"	otoczenie stacji nadawczej - ok. 100 m od obiektu wzdłuż gł. osi promieniowania - GKP	<0,047	<0,046
15	<0,7*	<1,81	<0,002	<0,005	0,3 - 2,0	N: 53° 13' 23,7" E: 23° 13' 15"	otoczenie stacji nadawczej - ok. 150 m od obiektu wzdłuż gł. osi promieniowania - GKP	<0,047	<0,046
16	<0,7*	<1,81	<0,002	<0,005	0,3 - 2,0	N: 53° 13' 22,6" E: 23° 13' 16,9"	otoczenie stacji nadawczej - ok. 200 m od obiektu wzdłuż gł. osi promieniowania - GKP	<0,047	<0,046
17	<0,7*	<1,81	<0,002	<0,005	0,3 - 2,0	N: 53° 13' 21,5" E: 23° 13' 18,9"	otoczenie stacji nadawczej - ok. 250 m od obiektu wzdłuż gł. osi promieniowania - GKP	<0,047	<0,046

18	0,8	2,06	0,002	0,005	1,3	N: 53° 13' 20,4" E: 23° 13' 20,8"	otoczenie stacji nadawczej - ok. 300 m od obiektu wzdłuż gł. osi promieniowania - GKP	0,053	0,052
19	0,9	2,32	0,002	0,006	1,4	N: 53° 13' 19,3" E: 23° 13' 22,8"	otoczenie stacji nadawczej - ok. 350 m od obiektu wzdłuż gł. osi promieniowania - GKP	0,060	0,059
20	1,1	2,84	0,003	0,008	1,2	N: 53° 13' 18,2" E: 23° 13' 24,8"	otoczenie stacji nadawczej - ok. 400 m od obiektu wzdłuż gł. osi promieniowania - GKP	0,073	0,072
21	1,2	3,10	0,003	0,008	1,9	N: 53° 13' 17,1" E: 23° 13' 26,7"	otoczenie stacji nadawczej - ok. 450 m od obiektu wzdłuż gł. osi promieniowania - GKP	0,080	0,078
22	1,4	3,61	0,004	0,010	1,9	N: 53° 13' 16" E: 23° 13' 28,7"	otoczenie stacji nadawczej - ok. 500 m od obiektu wzdłuż gł. osi promieniowania - GKP	0,093	0,092
23	1,1	2,84	0,003	0,008	1,9	N: 53° 13' 14,8" E: 23° 13' 30,6"	otoczenie stacji nadawczej - ok. 550 m od obiektu wzdłuż gł. osi promieniowania - GKP	0,073	0,072
24	1,1	2,84	0,003	0,008	2,0	N: 53° 13' 13,7" E: 23° 13' 32,6"	otoczenie stacji nadawczej - ok. 600 m od obiektu wzdłuż gł. osi promieniowania - GKP	0,073	0,072
25	<0,7*	<1,81	<0,002	<0,005	0,3 - 2,0	N: 53° 13' 26,6" E: 23° 13' 6,5"	otoczenie stacji nadawczej - ok. 50 m od obiektu wzdłuż gł. osi promieniowania - GKP	<0,047	<0,046
26	<0,7*	<1,81	<0,002	<0,005	0,3 - 2,0	N: 53° 13' 26,1" E: 23° 13' 3,9"	otoczenie stacji nadawczej - ok. 100 m od obiektu wzdłuż gł. osi promieniowania - GKP	<0,047	<0,046
27	<0,7*	<1,81	<0,002	<0,005	0,3 - 2,0	N: 53° 13' 25,7" E: 23° 13' 14,4"	otoczenie stacji nadawczej - ok. 150 m od obiektu wzdłuż gł. osi promieniowania - GKP	<0,047	<0,046
28	<0,7*	<1,81	<0,002	<0,005	0,3 - 2,0	N: 53° 13' 25,2" E: 23° 12' 58,8"	otoczenie stacji nadawczej - ok. 200 m od obiektu wzdłuż gł. osi promieniowania - GKP	<0,047	<0,046
29	<0,7*	<1,81	<0,002	<0,005	0,3 - 2,0	N: 53° 13' 24,7" E: 23° 12' 56,2"	otoczenie stacji nadawczej - ok. 250 m od obiektu wzdłuż gł. osi promieniowania - GKP	<0,047	<0,046
30	<0,7*	<1,81	<0,002	<0,005	0,3 - 2,0	N: 53° 13' 24,3" E: 23° 12' 53,6"	otoczenie stacji nadawczej - ok. 300 m od obiektu wzdłuż gł. osi promieniowania - GKP	<0,047	<0,046
31	<0,7*	<1,81	<0,002	<0,005	0,3 - 2,0	N: 53° 13' 23,8" E: 23° 12' 51"	otoczenie stacji nadawczej - ok. 350 m od obiektu wzdłuż gł. osi promieniowania - GKP	<0,047	<0,046
32	<0,7*	<1,81	<0,002	<0,005	0,3 - 2,0	N: 53° 13' 23,4" E: 23° 12' 48,5"	otoczenie stacji nadawczej - ok. 400 m od obiektu wzdłuż gł. osi promieniowania - GKP	<0,047	<0,046
33	<0,7*	<1,81	<0,002	<0,005	0,3 - 2,0	N: 53° 13' 22,9" E: 23° 12' 45,9"	otoczenie stacji nadawczej - ok. 450 m od obiektu wzdłuż gł. osi promieniowania - GKP	<0,047	<0,046
34	<0,7*	<1,81	<0,002	<0,005	0,3 - 2,0	N: 53° 13' 22,4" E: 23° 12' 43,3"	otoczenie stacji nadawczej - ok. 500 m od obiektu wzdłuż gł. osi promieniowania - GKP	<0,047	<0,046
35	<0,7*	<1,81	<0,002	<0,005	0,3 - 2,0	N: 53° 13' 22" E: 23° 12' 40,7"	otoczenie stacji nadawczej - ok. 550 m od obiektu wzdłuż gł. osi promieniowania - GKP	<0,047	<0,046
36	<0,7*	<1,81	<0,002	<0,005	0,3 - 2,0	N: 53° 13' 21,5" E: 23° 12' 38,1"	otoczenie stacji nadawczej - ok. 600 m od obiektu wzdłuż gł. osi promieniowania - GKP	<0,047	<0,046
37	<0,7*	<1,81	<0,002	<0,005	0,3 - 2,0	N: 53° 13' 26,5" E: 23° 13' 11,7"	otoczenie stacji nadawczej - PKP	<0,047	<0,046
38	<0,7*	<1,81	<0,002	<0,005	0,3 - 2,0	N: 53° 13' 27,3" E: 23° 13' 14,8"	otoczenie stacji nadawczej - PKP	<0,047	<0,046
39	<0,7*	<1,81	<0,002	<0,005	0,3 - 2,0	N: 53° 13' 25,6" E: 23° 13' 16,9"	otoczenie stacji nadawczej - PKP	<0,047	<0,046
40	<0,7*	<1,81	<0,002	<0,005	0,3 - 2,0	N: 53° 13' 26" E: 23° 13' 7"	otoczenie stacji nadawczej - PKP	<0,047	<0,046
41	<0,7*	<1,81	<0,002	<0,005	0,3 - 2,0	N: 53° 13' 25" E: 23° 13' 4,9"	otoczenie stacji nadawczej - PKP	<0,047	<0,046
42	<0,7*	<1,81	<0,002	<0,005	0,3 - 2,0	N: 53° 13' 24" E: 23° 13' 2,8"	otoczenie stacji nadawczej - PKP	<0,047	<0,046
43	<0,7*	<1,81	<0,002	<0,005	0,3 - 2,0	N: 53° 13' 26,6" E: 23° 13' 0,5"	otoczenie stacji nadawczej - PKP	<0,047	<0,046
44	<0,7*	<1,81	<0,002	<0,005	0,3 - 2,0	N: 53° 13' 27,1" E: 23° 13' 3,6"	otoczenie stacji nadawczej - PKP	<0,047	<0,046
45	<0,7*	<1,81	<0,002	<0,005	0,3 - 2,0	N: 53° 13' 28,4" E: 23° 13' 7,4"	otoczenie stacji nadawczej - PKP	<0,047	<0,046
46	<0,7*	<1,81	<0,002	<0,005	0,3 - 2,0	N: 53° 13' 30,3" E: 23° 13' 9,5"	otoczenie stacji nadawczej - PKP	<0,047	<0,046
47	<0,7*	<1,81	<0,002	<0,005	0,3 - 2,0	N: 53° 13' 31,9" E: 23° 13' 10,9"	otoczenie stacji nadawczej - PKP	<0,047	<0,046
48	<0,7*	<1,81	<0,002	<0,005	0,3 - 2,0	N: 53° 13' 31,2" E: 23° 13' 13,7"	otoczenie stacji nadawczej - PKP	<0,047	<0,046
49	<0,7*	<1,81	<0,002	<0,005	0,3 - 2,0	N: 53° 13' 29,5" E: 23° 13' 12,6"	otoczenie stacji nadawczej - PKP	<0,047	<0,046
50	<0,7*	<1,81	<0,002	<0,005	0,3 - 2,0	N: 53° 13' 22,9" E: 23° 13' 13,1"	otoczenie stacji nadawczej - PKP	<0,047	<0,046

51	<0,7*	<1,81	<0,002	<0,005	0,3 - 2,0	N: 53° 13' 24,6" E: 23° 13' 10,1"	otoczenie stacji nadawczej - PKP	<0,047	<0,046
52	<0,7*	<1,81	<0,002	<0,005	0,3 - 2,0	N: 53° 13' 25,7" E: 23° 13' 9,1"	otoczenie stacji nadawczej - PKP	<0,047	<0,046
A	<0,7*	<1,81	<0,002	<0,005	0,3 - 2,0	N: 53° 13' 27,6" E: 23° 13' 7,2"	budynek magazynu, pomiar przed budynkiem - DPP	<0,047	<0,046
B	<0,7*	<1,81	<0,002	<0,005	0,3 - 2,0	N: 53° 13' 27,1" E: 23° 13' 11,5"	nowo wybudowany budynek, pomiar przed wejściem - DPP	<0,047	<0,046

wynik pomiaru pole - E [V/m] - maksymalna wartość chwilowa zmierzona w danych pionie pomiarowym

* poniżej czułości zestawu pomiarowego

GKP – główne kierunki pomiarowe

PKP – pomocnicze kierunki pomiarowe

DPP – dodatkowe punkty pomiarowe

PP – pion pomiarowy

U – niepewność pomiarowa dla współczynnika rozszerzenia $k=2$

k_E – poprawka pomiarowa badanej instalacji radiokomunikacyjnej podana przez operatora ($k_E=1,65$),

poprawka pomiarowa w przypadku oddziaływania innych instalacji radiokomunikacyjnych na badany obszar ($k_E=2,0$)

WME – wartość wskaźnikowa poziomu emisji pól elektromagnetycznych dla miejsc dostępnych dla ludności dla składowej elektrycznej pola

WMH – wartość wskaźnikowa poziomu emisji pól elektromagnetycznych dla miejsc dostępnych dla ludności dla składowej magnetycznej pola

Przyjęto najniższą dopuszczalną wartość składowej elektrycznej pola dla objętego pomiarami zakresu częstotliwości $\min(ME_{gr})= 38,8$ V/m oraz składowej magnetycznej $\min(MH_{gr})= 0,105$ A/m.

7. Stwierdzenie zgodności

Na podstawie wytycznych podanych w Rozporządzeniu Ministra Zdrowia z dnia 17 grudnia 2019 r. w sprawie dopuszczalnych poziomów pól elektromagnetycznych w środowisku (Dz.U. 2019 poz. 2448) oraz sposobów sprawdzania dotrzymania tych poziomów zgodnie z Rozporządzeniem Ministra Klimatu z dnia 17 lutego 2020 r. w sprawie sposobów sprawdzania dotrzymania dopuszczalnych poziomów pól elektromagnetycznych w środowisku (Dz.U. 2020 poz. 258) dotyczących źródła wymagań, które muszą być spełnione (załącznik do rozporządzenia Ministra Klimatu z dnia 17 lutego 2020 r. (poz. 258)), w oparciu o zasadę podejmowania decyzji zgodną z pkt 26 załącznika do rozporządzenia Ministra Klimatu z dnia 17 lutego 2020 r. (poz. 258), na podstawie wyników pomiarów pól elektromagnetycznych wykonanych w dniu 11.05.2021r. stwierdzono, iż w miejscach dostępnych dla ludności, dopuszczalne poziomy pól elektromagnetycznych w środowisku, określone w przepisach wydanych na podstawie art. 122 ust. 1 ustawy z dnia 27 kwietnia 2001 r. – Prawo ochrony środowiska, uznaje się za dotrzymane w obszarze pomiarowym, w którym w wyniku zastosowania sposobu sprawdzenia dotrzymania dopuszczalnych poziomów pól elektromagnetycznych w środowisku, udokumentowano, że żadna z wartości wskaźnikowych nie przekracza wartości 1.

8. Oświadczenie.

Wyniki badania odnoszą się wyłącznie do badanego obiektu.

Bez pisemnej zgody sprawozdanie nie może być powielane inaczej, jak tylko w całości.

Uwagi i zastrzeżenia przyjmowane są w formie pisemnej w ciągu 14 dni od daty otrzymania sprawozdania.

9. Spis załączników.

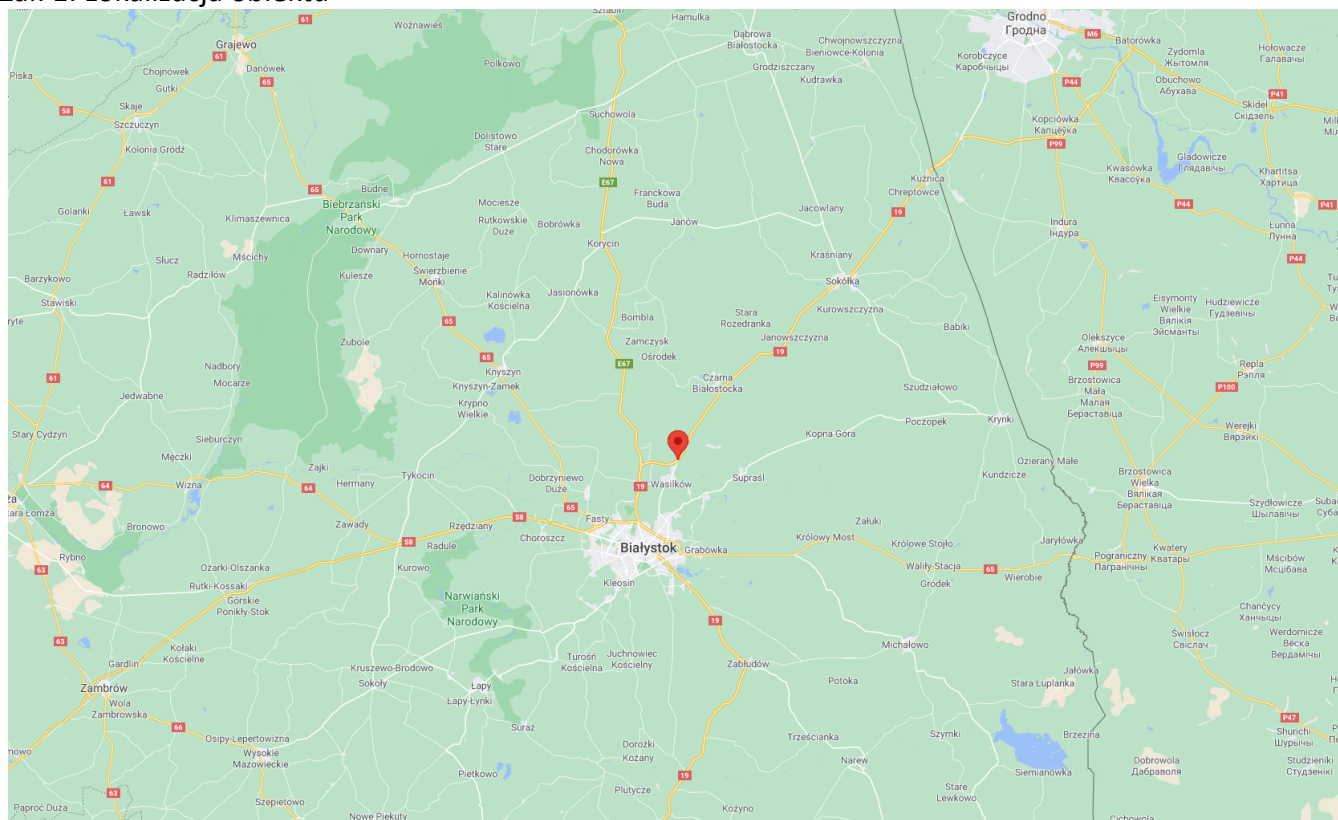
Załącznik 1. Lokalizacja obiektu.

Załącznik 2. Widok pionów pomiarowych

Załącznik 3. Załączniki graficzne.

Koniec sprawozdania

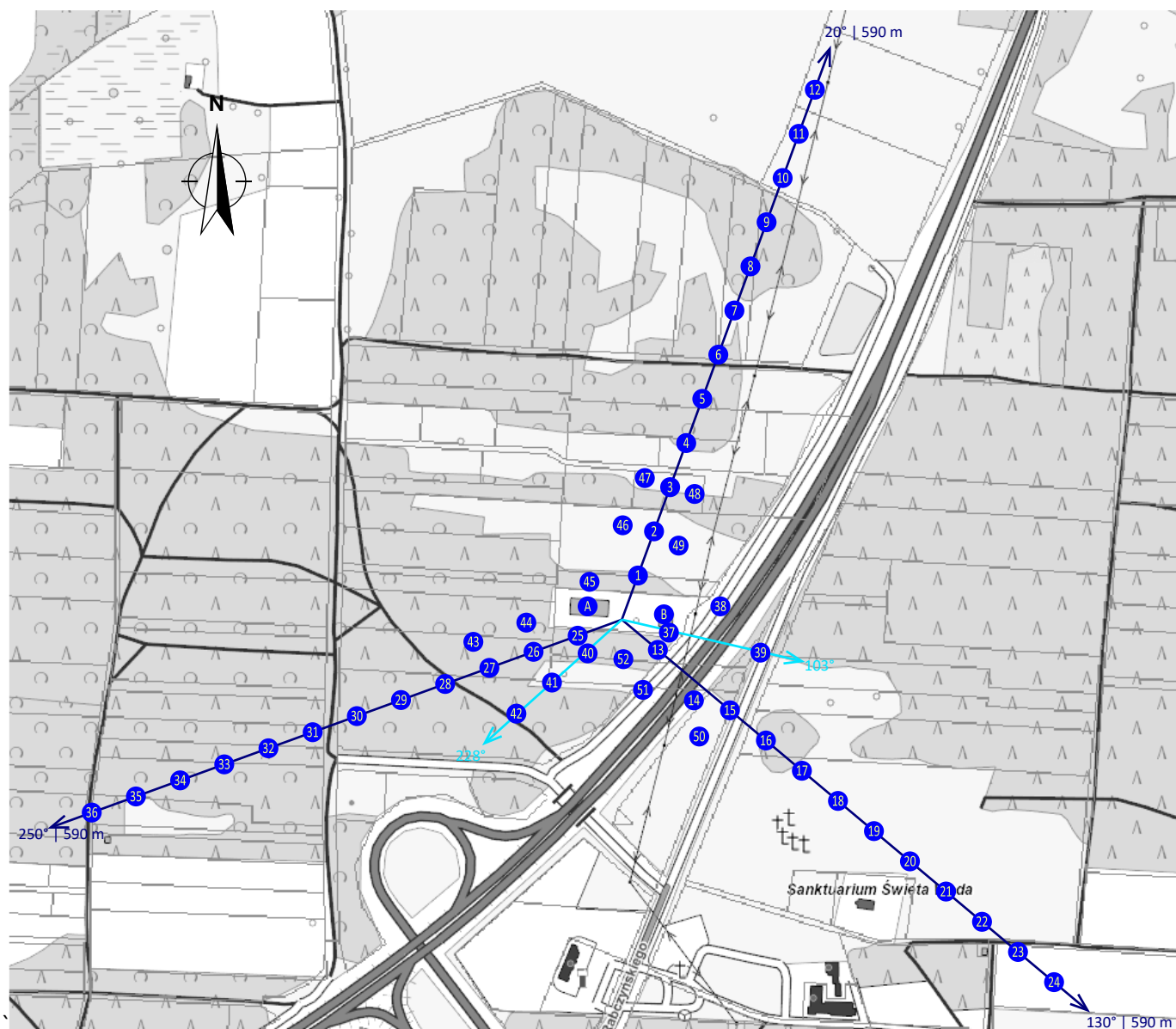
Zał. 1. Lokalizacja obiektu





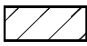



województwo: podlaskie

Współrzędne geograficzne	
długość:	E: 23° 13' 9,1"
szerokość:	N: 53° 13' 27"

Załącznik 2. Widok pionów pomiarowych



LEGENDA:

- | | | | |
|---|------------------------------------|---|--|
|  | inna instalacja radiokomunikacyjna |  | punkt pomiarowy z poprawką pomiarową podaną przez operatora |
|  | brak dostępu |  | punkt pomiarowy będący w zasięgu innych instalacji radiokomunikacyjnych z poprawką pomiarową 2,0 |
| | |  | antena sektorowa |
| | |  | antena radioliniowa |

Odległość, do której zostały wykonane pomiary mierząc od instalacji antenowej wynosi min. 590 m.

Skala: 1:7100

Załącznik 3. Załączniki graficzne.

